

T.A. 格魯蒙德斯 著

飞机的带式 空气减速装置

(机动飞行掣动用)



國防工業出版社

飞机的带式 空 气 减 速 装 置

(机动飞行掣动用)

T. A 格魯史德斯著

王 培 良 譯

國防工業出版社

內容簡介

本書闡述飞机的新型帶式空气減速裝置的實驗研究，研究的範圍包括它的空气动力特性、相似准则与强度。制定了帶式減速裝置的亞音速氣动力計算方法。在書的結尾还用实例比較了这种減速裝置与其他应用中的減速板的阻力性能。此書可供飞机設計人員，實驗研究人員，航空院校的师生参考。

苏联T. A. Грумандэ著 ‘Ленточный воздушный тормоз для торможения самолета на маневре’ (Оборонгиз 1956年)

國防·書文版社

北京市書刊出版業營業許可證出字第074号
機械工業出版社印刷厂印刷 新華書店發行

*

850×1168 1/32 · 19/16 印張 · 37千字

1959年 3月第一版

1959年3月第一次印刷

印数：0,001—1,100册 定价：(11)0.32元

№ 2330 統一書号15034·279

目 录

緒言	5
§ 1 在HK-1風洞內的最初實驗	5
§ 2 使用帶式空氣減速裝置的可能性的驗 証	7
§ 3 闡明減速裝置的工作對機翼空氣動力性能影響的實驗	17
§ 4 影響帶式減速裝置工作和正面阻力系數的參數之闡明	21
§ 5 為取得計算帶式減速裝置的數據在T-1風洞內的實驗	31
§ 6 工作的帶式減速裝置的電影攝影	40
§ 7 帶式減速裝置的空氣動力計算	43
§ 8 布帶的強度試驗	47
§ 9 結語	48

緒 言

本書所要討論的是有关新型空气减速装置的实验研究問題。这种减速装置无论从结构上来看或者从减速力的获得方法上来看，都与目前所选用的减速装置有着根本的不同。它的工作原理是赖于同运动物体相撞的构件的自振，使气流的动能轉变成位能。在我們所研究的情况下，伸出机翼后緣的布带便作为这种构件。

本書發表的材料均系莫斯科航空学院空气动力实验室在流速不超过 50 m/cent 情况下得出的实验結果。

帶式减速装置的性能与目前所采用的各式减速装置作一比較指出，前者仅在振动构件的面积很大的情况下，方能显示出减速力的优越。这样将使减速装置的結構趋向复杂。但是，可以这样預言：只要結構方案是完善的，具有較小的鉸矩，重量显然也輕的帶式空气减速装置将有成效地在飞机上获得采用，以作机动飞行时减速之用。

§1 在HK-1風洞內的最初实验

在HK-1風洞內进行初步实验的目的是为了闡明帶式减速裝置的尺寸与正面阻力的关系。

圖 1 是流速 $V = 29 \text{ m/cent}$ 和攻角 $\alpha = 0^\circ$ 及 $\alpha = 4^\circ$ 时，沿整个翼展裝有布带的矩形机翼的正面阻力系数与布带宽度的关系圖。尺寸 b_2 是布带伸出机翼外面的宽度。

我們所要研究的正面阻力包括机翼阻力、布带的摩擦阻力和布带繞平行于机翼后緣的軸綫振动时，布带翹曲而形成的压差阻力。这些組成部分内还包括机翼与布带相互影响而产生的阻力。

指出这点是有趣的： c_x 在开始时的增長几乎与布带宽度的增長成正比，隨后在 b_2 数值的某个范围内， c_x 反而隨布带宽度的增長

而减小。这是由于布带宽度改变时，它的振幅和振动频率也随之改变。

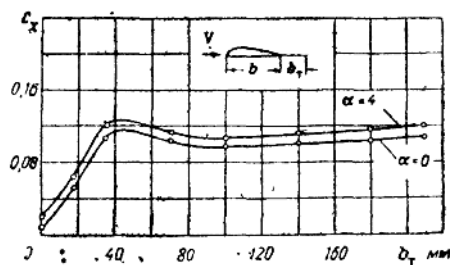


圖 1 裝有減速裝置的機翼正面阻力系數與布帶寬度的關係。

$$c_x = \frac{Q}{q_s}; \quad V_{ep} = 29 \text{ m/sec}; \quad b = 0.150 \text{ m};$$

$$l = 0.75 \text{ m}; \quad \bar{c} = 16\%.$$

圖 2 概略地表明振动的布带于极限位置时的剖面圖。

当布带的宽度超过某一限度时，振幅和振动频率随之减小。这样，就使布带上下表面压力差所形成的阻力减小。摩擦阻力則随着布带宽度的增长而加大。結果，在某个宽度时， c_x 开始又增加。



圖 2 振动的布带于极限位置时的剖面示意圖。

最有利的 $b_{r, \text{opt}}$ 宽度，正如实验的结果所指出，与布料的质量

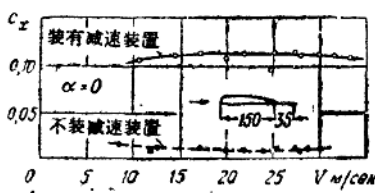


圖 3 裝和不裝減速裝置的機翼正面阻力的結果示于圖 1 上。布料單系数与迎面气流速度的关系曲线。

位面积的重量密度等于 $\gamma_F = 0.00682 \text{ kg/m}^2$ 。此时，翼弦 $b = 150 \text{ mm}$ ， $b_{r, \text{opt}}$ 约为 45 mm ，即 $\frac{b_r}{b} \approx \frac{1}{3}$ 。

当攻角 $\alpha = 0^\circ$ 时，装有减速装置的机翼的正面阻力系数与原

用 АОД 布料进行 实驗

的結果示于圖 1 上。

翼型机翼相比较，前者比后者约增大 10 倍。

其次，当机翼攻角 $\alpha = 0^\circ$ ，而 $\frac{b_r}{b} = 0.25$ 时，借装有 AOΔ 布料减速装置的机翼进行了多次正面阻力与流速关系的实验。

图 3 就是装和不装减速装置的机翼工作时的比较曲线 $c_x = f(V)$ 。

从图中可看出，装有减速装置的机翼正面阻力系数在所研究的速度范围内约为一个常数。

此外，还将装有同样减速装置的机翼于流速 $V = 30 \text{ m/sec}$ 和攻角 $\alpha = \pm 4^\circ, 0^\circ, -6^\circ, +8^\circ$ 下的工作情况拍摄了照片。

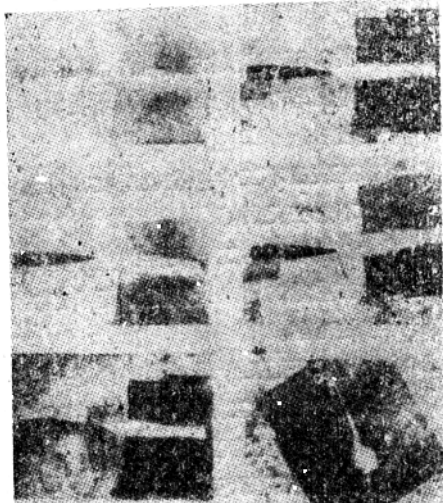


图 4 装有减速装置的机翼于各种攻角下的一般景象。

从图 4 的各张照片中能清楚地看出，布带于振动时的振幅和翘曲的特性，沿机翼后缘好象形成一个由于振幅而引起截面很大的新物体。

初步实验结果就奠定了对使用布带作为飞机的减速装置的合理性和可能性问题的研究基础。

§2 使用带式空气减速装置的可能性的验证

对飞机减速装置的重要要求是：

1. 减速装置工作时，应产生很大的正面阻力；
2. (这点与减速装置的操纵应具有适当的铰接力矩有关)。

当然，飞机上安装了减速装置以及它的作用都不應該降低飞机的基本空气动力性能。

前面已肯定，装有带式减速装置的机翼正面阻力能增长10倍。这就是說，根据初步的实验，可認為减速装置的减速效应是極其良好的。至于鉸矩方面，带式减速装置的优越是无可爭辯的。因为阻力是随着布带的伸出量而增長着，但它的力臂，实际上仍是一个常值。

当减速装置不工作，也就是收在机翼內时，飞机的最大速度实际上 是不起变化的。

带式减速装置的工作元件的重量比目前所采用的結構要輕。因而，飞机重量的增加以及隨此而引起的爬高速度的变化都不会超出現有的範圍。

首先研究下面几个最重要的問題：

1. 减速装置的工作对飞机稳定性的影响程度；
2. 布带的振动能否引起机翼和尾翼的颤振；
3. 是否能保証承受拉伸和弯曲振动的布带具有必要的强度。

为說明稳定性的变化，在莫斯科航空学院空气动力實驗室內，对装有带式减速装置的机翼进行了極緣和对前緣力矩的實驗。此外，还进行了研究机翼上压力分布的實驗。为了闡明尾翼处的流速阻滞程度，又研究了机翼后面的流速場。

圖5表示出装有不同宽度的减速装置的矩形机翼的曲綫族 $c_y = f(\alpha)$ 。布带的横向尺寸在任何情况下都与翼展等長。机翼的翼型示于圖6上。从圖5中可以看出 $\frac{\partial c_y}{\partial \alpha}$ 于减速装置工作时的变化。

原翼型机翼的 $\frac{\partial c_y}{\partial \alpha} = 0.0775$ 。

装有减速装置机翼的 $\frac{\partial c_y}{\partial \alpha} = 0.725$ 。

$\frac{\partial c_y}{\partial \alpha}$ 的改变使縱向稳定性略有增。

当伸出的布带宽度改变时， $\frac{\partial c_y}{\partial \alpha}$ 保持不变，这是值得注意的有利因素。

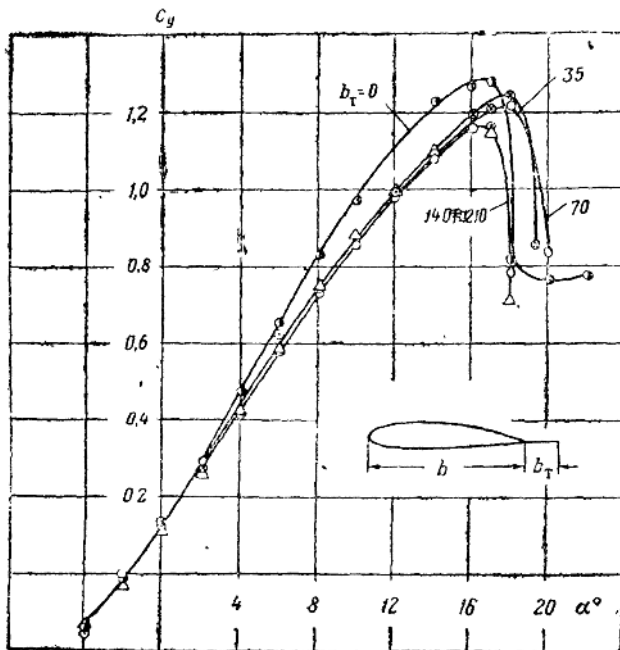


圖 5 裝有各種尺寸減速裝置的機翼升力系數與攻角的關係。

$$C_y = \frac{V}{\rho V^2} \cdot \frac{S}{2}; \quad V_{ep} = 29.4 \text{ m/sec};$$

$$b = 0.150 \text{ m}; \quad l = 0.750 \text{ m}.$$

圖7表示出裝有帶式減速裝置的矩形機翼的曲線族 $c_x = f(\alpha)$ 。

上圖表明，以各種攻角飛行時，正面阻力均有改變。因此，減速效應隨攻角增大而減低，這點可用關係式 $\frac{c_x(\text{裝有減速裝置})}{c_x(\text{不裝減速裝置})}$ 來表徵。

在臨界攻角下減速效應消失，這是由於機翼上表面的氣流分離使布帶的自振停止的緣故。

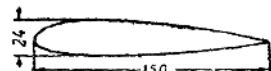


圖 6 於HK風洞內實驗機
體和力矩的翼型。

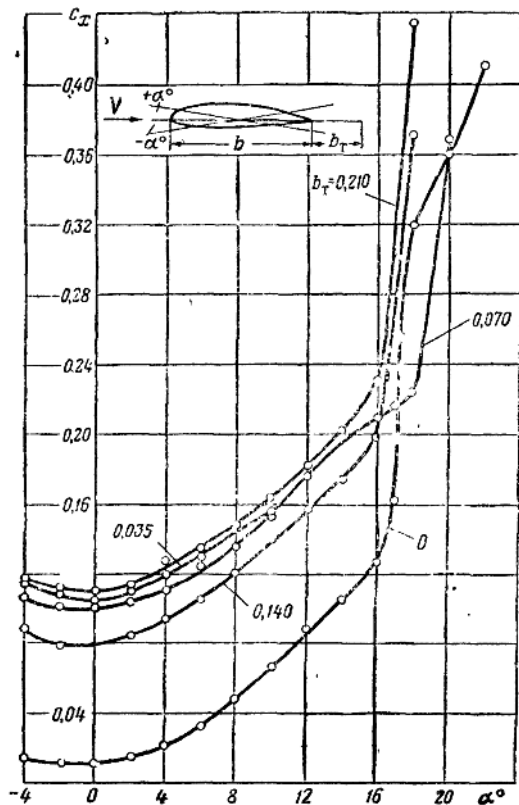


圖 7 裝有各種尺寸 b_T 減速裝置的機翼正面阻力系數與攻角的關係圖。

$$c_x = \frac{Q}{\rho \frac{V^2}{2} S}; \quad V_{cp} = 29 \text{ m/sec};$$

$$b = 0.150 \text{ m}; \quad l = 0.75 \text{ m}.$$

在 HK 風洞中于流速 $V = 29 \text{ m/sec}$ 時進行極線實驗。此後，在同樣的流速下，借助於重心儀對裝有減速裝置的機翼進行力矩實驗。

圖 8 表示相对机翼前緣軸綫的力矩系数与攻角的关系。

为使力矩实验的数据非常准确，扩大了实验范围。于同一个风洞内借重心仪对具有另一翼型的相似机翼和带式减速装置（布料密度大5倍）进行了实验。减速装置的宽度分七种。这些实验结果以曲线 $m_z = f(\alpha)$ 形式给予圖9內。

从圖8和圖9中不难看出，减速装置的作用实际上并不使 $\frac{\partial m_z}{\partial \alpha}$ 改变，这就证实机翼焦点位置是恒定的。因此，减速装置的工作对过载稳定性是没有影响的。这样，我們就可粗略地認為，采用带式减速装置对飞机的稳定性沒有大的影响。

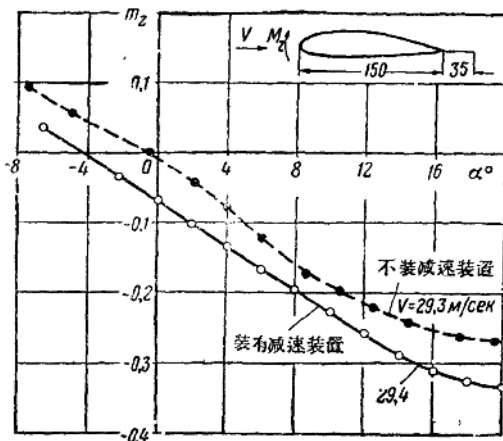


圖 8 装有和不装减速装置的机翼力矩系数与攻角的关系。

$$m_z = -\frac{M_z}{\rho \frac{V^2}{2} S b}.$$

由于减速装置的作用，下俯方向的 m_{z0} 增加。这时，駕駛員应在伸出减速装置的同时，向后拉操纵杆，使飞机的攻角增大。不过从圖8和圖9中可以看出，新的平衡角与收上减速装置飞行时的角度相差不大。

应当注意，减速装置伸出时，会产生很大的逆飞行方向的力，

这个力沿翼弦作用。該力的力矩能使下單翼飞机低头和上單翼飞机抬头。因此，带式减速装置仅适用于重心沿翼弦法線方向位移很小的飞机。

尾翼的气流特性对飞机的稳定性的影响很大。当伸出带式减速装置时，要防止减速系数的增大和气流阻滞区域的扩大。至于减速装置伸出后，气流下洗角的变化对稳定性的影响可以忽略不計，因为 c_y 的改变不大。

为阐明气流于机翼后面的阻减程度，在 HK 風洞中做了專門实验。这一实验也包括在風洞工作段内速度場的預先研究。所述風洞的工作段系指安装带有减速装置模型的区域而言。这次实验是以具有对称的扁圓翼型的矩形机翼模型(尺寸为 0.200×0.750 m) 进行的。

选用AOД布料制作减速装置的布带(宽 0.20δ 和長等于翼展) 固定在机翼上，并使其伸出机翼后緣 2.5% 。模型的这种固定法

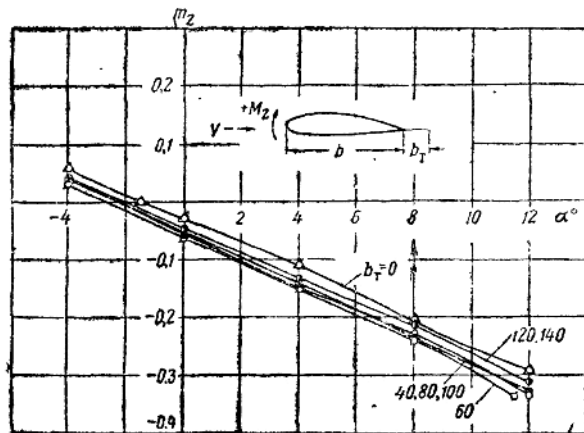


圖 9 装有减速装置的机翼力矩系数在不同的 b_T 下与攻角的关系。

$$m_z = \frac{M_z}{\rho \frac{V^2}{2} S b}; \quad V_{ep} = 30.8 \text{ m/sec}; \quad b = 0.150 \text{ m}$$

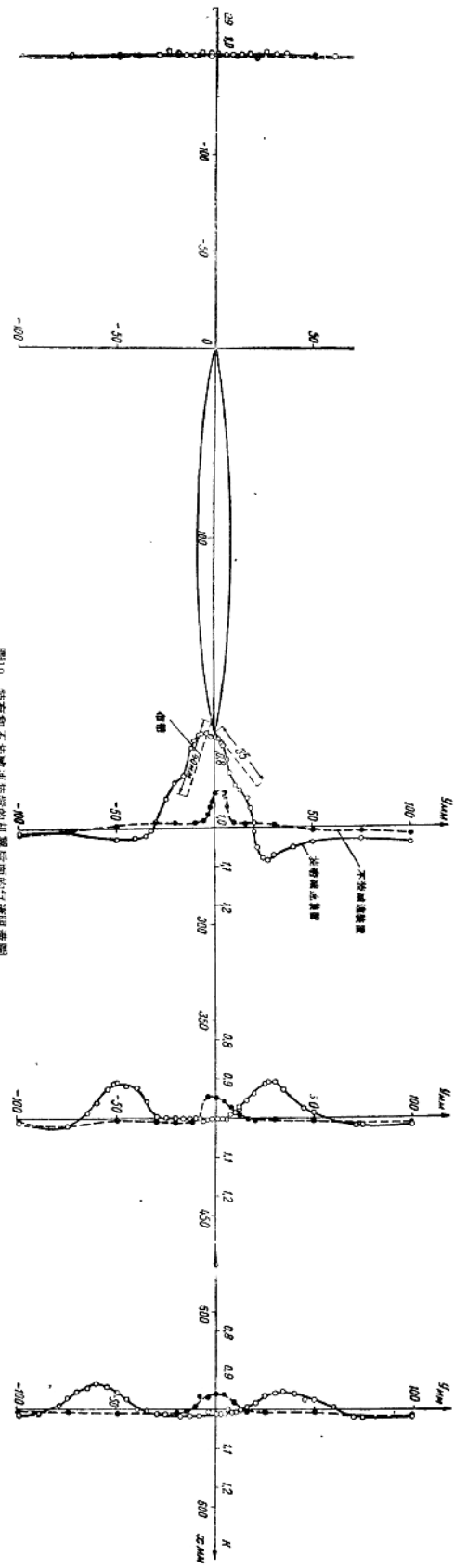


图10 带有和不考虑吸收的β⁻衰变能面的⁴²K谱带带宽。

$$k := \frac{i_{\text{cpl}}}{l_{\text{cpl}}}, \quad l_{\text{cpl}} = 30.4 \mu\text{m}/c\sigma_n.$$

在初次近似中可以說明，使用帶式減速裝置對不從機翼後緣伸出布帶，而從靠近機翼後緣的下表面伸出也是可以的。

實驗時，在機翼後面的氣流阻滯區域內，根據三個截面研究了流速的相對變化。為作比較，又在機翼前 0.75 处選取了第四个截面。氣流阻減的特性以各實驗點上的流速與未擾動流速之比值來表征，即以系數 $k = \frac{V_{cav}}{V_\infty}$ 來表征。

實驗是在 $\alpha = 0^\circ$ 和流速 $V = 30 \text{ m/sec}$ 的條件下進行的。圖 10 表示的是機翼與所選取的截面，各個點的位置，以及在其上的系數 k 的值。

裝有和不裝減速裝置的機翼在尾翼處的阻減圖的比較，說明了在這兩種情況下尾翼所涉及的區域內的最大阻減系數是相等的。裝有減速裝置的機翼會有兩個阻滯區域。對這一點，在設計飛機時應加以考慮。

這樣就可以認為，帶式減速裝置的工作對尾翼力矩的影響很小，從而，對飛機的縱向穩定性的影响也不大。

氣流阻滯圖的不對稱性表明，布帶伸出的位移可以調整尾翼處的阻滯區域的位置。對高位的水平尾翼來說，布帶從機翼下表面伸出比較適宜。

對減速裝置動態的觀察表明，從獲得減速力這一觀點來看，減速裝置不對稱地安裝是可以的。在這種情況下，模型的振動在實驗時是觀察不到的。確定減速裝置移動的界限尚需做專門的研究。

同時還闡明了帶式減速裝置對產生機翼振動的影響程度。實驗證明，在攻角由 -6° 到 $+10^\circ$ 的範圍內機翼呈現平穩，僅在接近臨界攻角 α_{kpur} 時，減速裝置的工作才能使機翼（模型）產生一般的振動，但比不裝減速裝置的機翼振動得強烈些。

此外，為了解釋由於機翼的相位不均衡，在減速力作用下的機翼擺動現象，進行了專門實驗。同時，用重心定位儀安裝模型之後，還拍攝了減速裝置工作時的照片。借繞機翼前緣軸線的轉

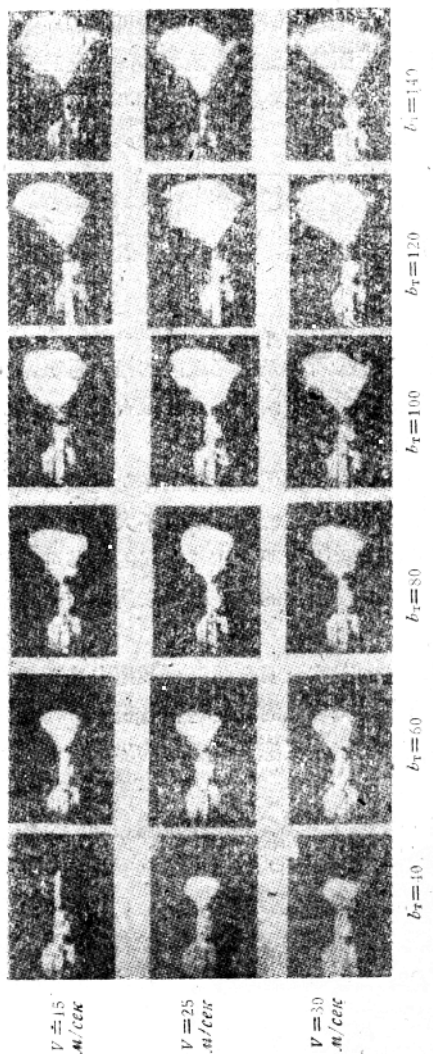


圖11 活動地安裝于力矩仪軸線上的裝有減速裝置的機翼。力矩仪軸線與機翼前緣重合。在各種速度 V 和尺寸 b_r 下所拍攝的機翼型照片。